

鹿児島大学工学部 正員 春山元寿
 同上 正員 北村良介
 飛島建設(元・学部学生) 松尾和昌

1. まえがき

桜島は鹿児島湾奥中央部に位置し、その中腹以上では火山碎屑岩が厚く堆積し、また火山爆發や噴煙活動に伴う降灰の堆積も多く、この地域では豪雨時の侵食、山崩れ及び土石流などによって膨大な土砂が生産され、それに伴う災害は工業的にも社会的にも大きな問題となる。本報告では、航空写真より図化された地形図及び現地調査より得られた地形、地質、地被等に関するデータ¹⁾をもとに、量化理論第Ⅱ類を適用し、桜島の有害土砂の供給源となる侵食・崩壊発生危険度を数量的に評価する手法の提案を試みる。

表-1 アイテム、カテゴリー、Score表

2. 地形、地質及び地被との計測・調査法

桜島を主要な15の河川流域に区分し、各流域は250m²平方の方眼によつて合計538個の方眼に分けられた。各方眼内の地形、地質・地被を次の方法で評価された。地形因子は1974年に撮影された航空写真をもとに図化した2500分の1の地形図から次の6項目が読みとられた。

- 高度：各方眼内の中点の標高をメートル単位で表示。
- 起伏量：各方眼内の最高標高と最低標高の差で表示。
- 等高線数：方眼に内接する円内の等高線本数を数えた。
- 谷密度：各方眼内の水系の総数を谷密度とした。
- 局所地形（縦断面）：各方眼の傾斜方向の等高線の疎密・分布を目安にして、平衡斜面、下降斜面、上昇下降斜面、及び下降上昇斜面の5つの型で表示。
- 局所地形（横断面）：方眼を横断する地形を平坦地形、尾根地形、谷地形及び複合地形の4つの型で表示。

さらに、桜島の地質は山口²⁾による地質図を用ひ、17種類に分類された。地被は現地調査及び航空写真によつて宅地（道路等を含む）、果樹園、林地、草地及び裸地の5つに分類した。

3. 数量化理論第Ⅱ類の適用及び危険度評価法

前述の8つの計測項目をアイテムとし、各アイテムについて表-1に示すようくカテゴリーに分類し、量化理論第Ⅱ類を適用した。各カテゴリーに対して得られた数値（固有ベクトル）が、固有値の大きいものから順にE軸、正軸、Ⅲ軸として表-1に示されていく。これらの数値を用い、各アイテム、カテゴリーを分類し、桜島の地形、地質、地被の状況を数量的に明らかにした。そして、高度が高くなければ、それに比例して侵食・崩壊

| アイテム | カテゴリー | E軸 | 正軸 | Ⅲ軸 |
|------|--|--------|--------|--------|
| 高度 | 0 ~ 199 m | -0.289 | 0.122 | 0.209 |
| | 200 ~ 399 | -0.024 | -0.278 | 0.522 |
| | 400 ~ 599 | 0.128 | -0.010 | -0.216 |
| | 600 ~ 799 | 0.205 | 0.168 | 0.195 |
| | 800 ~ 999 | 0.161 | 0.135 | -0.093 |
| | 1000 ~ | 0.274 | 0.056 | -0.061 |
| 起伏量 | 0 ~ 49 m | -0.286 | 0.279 | -0.036 |
| | 50 ~ 99 | -0.117 | -0.240 | 0.208 |
| | 100 ~ 149 | 0.093 | -0.125 | -0.227 |
| | 150 ~ 199 | 0.208 | 0.110 | -0.176 |
| | 200 ~ 249 | 0.168 | 0.170 | 0.170 |
| | 250 ~ 299 | 0.069 | 0.076 | 0.041 |
| 等高線数 | 300 ~ 349 | 0.034 | 0.038 | 0.191 |
| | 350 ~ | 0.035 | 0.041 | 0.211 |
| | 0 ~ 24 | -0.186 | 0.242 | -0.075 |
| | 3 ~ 4 | -0.197 | 0.204 | -0.047 |
| | 5 ~ 6 | -0.111 | -0.001 | 0.053 |
| | 7 ~ 9 | -0.113 | -0.143 | 0.177 |
| 谷密度 | 10 ~ 11 | -0.042 | -0.160 | 0.088 |
| | 12 ~ 14 | 0.011 | -0.160 | -0.126 |
| | 15 ~ 17 | 0.067 | -0.030 | -0.133 |
| | 18 ~ 20 | 0.140 | 0.049 | -0.154 |
| | 21 ~ 24 | 0.199 | 0.138 | -0.080 |
| | 25 ~ | 0.151 | 0.152 | 0.450 |
| 縦断面 | 0 ~ 5 | -0.246 | 0.111 | -0.065 |
| | 6 ~ 10 | -0.027 | -0.147 | -0.022 |
| | 11 ~ 15 | 0.019 | -0.147 | -0.084 |
| | 16 ~ 20 | 0.059 | -0.035 | 0.162 |
| | 21 ~ 25 | 0.087 | -0.004 | 0.095 |
| | 26 ~ 30 | 0.092 | 0.059 | 0.007 |
| 横断面 | 31 ~ 40 | 0.110 | 0.062 | 0.182 |
| | 41 ~ 50 | 0.133 | 0.066 | -0.074 |
| | 51 ~ | 0.123 | 0.102 | -0.119 |
| | 平 衡 | 0.075 | 0.167 | -0.074 |
| | 下 降 | -0.051 | -0.117 | 0.086 |
| | 上 升 | -0.049 | -0.116 | 0.002 |
| 地被 | 上昇下降 | -0.065 | -0.071 | 0.098 |
| | 下降上升 | -0.016 | -0.102 | -0.026 |
| | 平 坦 | -0.155 | 0.121 | -0.142 |
| | 尾 根 | -0.008 | -0.097 | -0.067 |
| | 谷 | 0.030 | 0.027 | 0.101 |
| | 複 合 | 0.052 | -0.047 | 0.048 |
| 地質 | 宅 地 | -0.117 | 0.059 | 0.147 |
| | 果樹園 | -0.258 | 0.230 | -0.024 |
| | 林 地 | -0.075 | -0.184 | -0.073 |
| | 草 地 | 0.115 | -0.015 | -0.015 |
| | 裸 地 | 0.263 | 0.217 | 0.018 |
| | L ₁ , L ₂ , L ₃ , L ₄ , A, Ak, Va, L _a , L _b , L _c , Pe, S _n , V _c , Wa, L ₁ , L ₂ , Pe, Sm | -0.061 | -0.059 | 0.161 |
| 地質 | A, Ak, Va | -0.244 | 0.202 | -0.035 |
| | L _a , L _b , L _c , Pe, S _n , V _c , Wa, L ₁ , L ₂ , Pe, Sm | -0.115 | -0.100 | -0.023 |
| | | 0.200 | -0.020 | -0.017 |

発生の危険度が高くないと仮定し、アイテム別に侵食・崩壊発生危険度に対して表-2に示すようす1~5の評点を与えた。表より高度が高くなければ起伏量が大きく、谷密度も高くなつていいことがわかる。等高線数は高度400~599mが最も多く、2113が、これは桜島の地形が高度400~800m附近で傾斜が急に変化していることと対応している。縦断面についでは上昇斜面が最も危険であり、以下、複合、下降、上昇斜面の順に、2113。ここに、複合斜面には表-1に示された上昇下降斜面、下降上昇斜面をあわせたものである。横断面についでは、谷地形、複合地形が最も危険であることがわかる。地被は裸地が最も危険であり、地質についでは南岳第1、2溶岩流、南岳集塊岩、北岳溶岩流、北岳溶石質岩済層が最も危険であることがわかる。

図-1は表-2に示された各アイテム・カテゴリーに与えられた評点をもとに、各方眼における危険度の合計評点を求め、その分布状況を示したものである。図-1をもとに総合的な危険度の水準を表-3に示すように0~Ⅲの4段階に分けた。図-2は、538個の方眼についでも表-3に示された危険度水準により桜島の侵食・崩壊発生の危険度を分類したものです。図において□は水準0、□は水準I、■は水準II、■は水準IIIである。

4. あとがき

桜島の地形、地質、地被に関するデータをもとに数量化理論第Ⅱ類を適用し、侵食・崩壊発生危険度を定量的に評価する手法を提案した。表-1の地質分類記号、第Ⅱ類による分類等に関する詳しい説明は概表当時に掲げたとある。

参考文献

- 1) 富山、谷口：桜島火山地域の地形、地質、植生と有害土砂災害危険度の評価、桜島地域防災調査協議会調査研究報告書、1980, pp.207~250
- 2) 山口：桜島火山研究、日本地質教育学会、1975

表-2 アイテム別の危険度評点

| 評点 | 1 | 2 | 3 | 4 | 5 |
|----------|---|---|---|---|-------|
| 7174 | | | | | |
| 高度(m) | 0~199 | 200~399 | 400~599 | 600~799 | 800~ |
| 起伏量(cm) | 0~99 | 100~199 | 200~299 | 300~ | |
| 等高線枚数(本) | 0~6 | 7~11 | 12~15 | 16~24 | 15~20 |
| 谷密度 | 0~5 | 6~15 | 16~25 | 26~40 | 41~ |
| 波状面 | 上昇 | 下降 | 複合 | 平衝 | |
| 横断面 | 平坦 | 尾根 | 谷底 | 谷底 | |
| 地被 | 全地 | 旱樹園 | 林地 | 草地 | 裸地 |
| 地質 | L ₁ , L ₂ V _a | A, Ak. P _a , V _b | L ₃ , L ₄ , L ₅ P _b , V _c W _b | L ₁ , L ₂ , L ₃ P _b , S _m | |

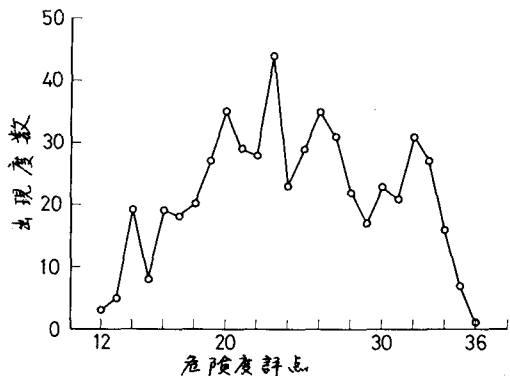


図-1 危険度評点出現度数分布

表-1 総合的危険度水準

| 危険度評点 | 危険度の水準 |
|---------|--------|
| 0 合計 | |
| 12 ~ 17 | 0 |
| 18 ~ 22 | I |
| 23 ~ 29 | II |
| 30 ~ 36 | III |

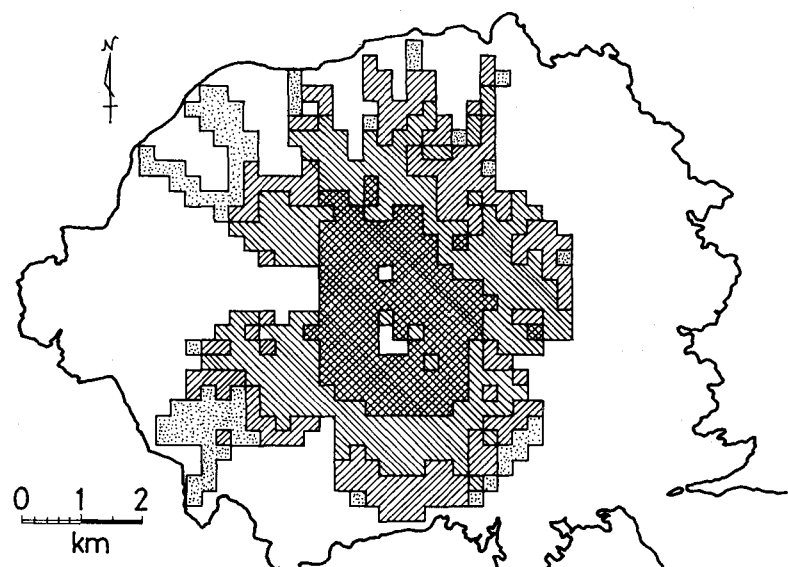


図-2 危険度水準分類図